



よって、任意点 $\bar{y}$ の応力は式(3)(4)に式(5)を適用して

$$\bar{\sigma}_y = \mu_s \{(1-\bar{y})\bar{\epsilon}_e + \bar{y}_s \bar{\epsilon}_u - \bar{\epsilon}_s^c\} \quad (6)$$

$$\bar{\sigma}_y = \mu_s \{(1-\bar{y})\bar{\epsilon}_e + \bar{y}_s \bar{\epsilon}_u - \bar{\epsilon}_s^c\} \quad (7)$$

式(6),(7)より全断面の応力が算定できるが、この場合ひずみが表-1, 2に示された各stepのうち、どのstepにあらかじめ判別し、式(6),(7)の未知係数 $\mu_{s1}, \mu_{s2}, \bar{\epsilon}_s^c$ を決定する必要がある。その判別操作プログラムを図-5, 6に示す。

### 3. 曲げモーメントと軸力に対する応力ひずみ、曲率の算定式

曲げモーメントMと軸力Nの組合せ負荷を受ける桁断面の内力と外力の釣合により任意の応力状態におけるM,Nは次式のように算定される。

$$\begin{aligned} N &= \int_A \sigma dA \\ M - h_c N &= - \int_A \sigma y dA \end{aligned} \quad (8)$$

ただし、 $A$ : 断面積、 $h_c$ : 純曲げが働く場合の下縁より中立軸までの距離。

式(8)を無次元化して式(6),(7)を代入すれば、次式となる。

$$\begin{aligned} \bar{N} &= \left[ \int_{A_0} \mu_s \{(1-\bar{y})\bar{\epsilon}_e + \bar{y}_s \bar{\epsilon}_u - \bar{\epsilon}_s^c\} dA + \int_{A_c} \mu_c \{(1-\bar{y})\bar{\epsilon}_e + \bar{y}_s \bar{\epsilon}_u - \bar{\epsilon}_s^c\} dA \right] / A \\ (M/h_c A) \bar{M} - h_c \bar{N} &= - \left[ \int_{A_0} \mu_s \{(1-\bar{y})\bar{\epsilon}_e + \bar{y}_s \bar{\epsilon}_u - \bar{\epsilon}_s^c\} dA + \int_{A_c} \mu_c \{(1-\bar{y})\bar{\epsilon}_e + \bar{y}_s \bar{\epsilon}_u - \bar{\epsilon}_s^c\} dA \right] / A \end{aligned} \quad (9)$$

ここで  $\bar{M} = M/M_0$ ,  $\bar{N} = N/N_0$ ,  $A_s$ : 鋼材の断面積,  $A_c$ : コンクリートの断面積。

$M_0, N_0$ : 無次元化のための基準モーメント、軸力。

式(9)の積分は $M, \bar{M}$ が断面内の各点で異なるゆえ、断面を図-4のよう分解し、その積分値を求めれば、次の式(10),(11)がえられる。

$$\bar{N} = \frac{1}{2} (A_1 \bar{\epsilon}_e + A_2 \bar{\epsilon}_u - A_3) \quad (10)$$

$$(6M_0/h_c A) \bar{M} - 6h_c \bar{N} = -(B_1 \bar{\epsilon}_e + B_2 \bar{\epsilon}_u - B_3) \quad (11)$$

ただし、 $A_i = \bar{A}_w \bar{h}_i \sum_{j=1}^{N+1} \{\mu_{s(j)}(1-\bar{y}_j) + \mu_{s(j+1)}(1-\bar{y}_{j+1})\}$

$$+ \bar{A}_f \bar{h}_i \sum_{j=1}^{N+1} \{\mu_{sf}(1-\bar{y}_j) + \mu_{sf}(1-\bar{y}_{j+1})\} + \bar{A}_t \{\mu_{tf}(1-\bar{y}_f) + \mu_{tf}(1-\bar{y}_{f+1})\}$$

$$A_2 = \bar{A}_w \bar{h}_i \sum_{j=1}^{N+1} \{\mu_{sy}(1-\bar{y}_j) + \mu_{sy}(1-\bar{y}_{j+1})\} + \bar{A}_c \bar{h}_i \sum_{j=1}^{N+1} \{\mu_{cy}(1-\bar{y}_j) + \mu_{cy}(1-\bar{y}_{j+1})\} + \bar{A}_f (\mu_{tf}\bar{y}_f + \mu_{tf}\bar{y}_{f+1})$$

$$A_3 = \bar{A}_w \bar{h}_i \sum_{j=1}^{N+1} \{\mu_{sy}(1-\bar{y}_j) + \mu_{sy}(1-\bar{y}_{j+1})\} + \bar{A}_c \bar{h}_i \sum_{j=1}^{N+1} \{\mu_{cy}(1-\bar{y}_j) + \mu_{cy}(1-\bar{y}_{j+1})\} + \bar{A}_f (\mu_{tf}\bar{y}_f + \mu_{tf}\bar{y}_{f+1})$$

$$B_1 = \bar{A}_w \bar{h}_i \sum_{j=1}^{N+1} \{\mu_{sf}(1-\bar{y}_j) (3\bar{y}_j + \bar{h}) + \mu_{sf}(1-\bar{y}_{j+1}) (3\bar{y}_{j+1} + \bar{h})\}$$

$$+ \bar{A}_f \bar{h}_i \sum_{j=1}^{N+1} \{\mu_{sf}(1-\bar{y}_j) (3\bar{y}_j + \bar{h}) + \mu_{sf}(1-\bar{y}_{j+1}) (3\bar{y}_{j+1} + \bar{h})\} + 3\bar{A}_f (\mu_{tf}\bar{y}_f + \mu_{tf}\bar{y}_{f+1})$$

$$B_2 = \bar{A}_w \bar{h}_i \sum_{j=1}^{N+1} \{\mu_{sy}(1-\bar{y}_j) (3\bar{y}_j + \bar{h}) + \mu_{sy}(1-\bar{y}_{j+1}) (3\bar{y}_{j+1} + \bar{h})\}$$

$$+ \bar{A}_c \bar{h}_i \sum_{j=1}^{N+1} \{\mu_{cy}(1-\bar{y}_j) (3\bar{y}_j + \bar{h}) + \mu_{cy}(1-\bar{y}_{j+1}) (3\bar{y}_{j+1} + \bar{h})\} + 3\bar{A}_f (\mu_{tf}\bar{y}_f + \mu_{tf}\bar{y}_{f+1})$$

$$B_3 = \bar{A}_w \bar{h}_i \sum_{j=1}^{N+1} \{\mu_{sf}(1-\bar{y}_j) \bar{E}_{sj}^c + \mu_{sf}(1-\bar{y}_{j+1}) \bar{E}_{sj+1}^c\}$$

$$+ \bar{A}_c \bar{h}_i \sum_{j=1}^{N+1} \{\mu_{sf}(1-\bar{y}_j) \bar{E}_{sj}^c + \mu_{sf}(1-\bar{y}_{j+1}) \bar{E}_{sj+1}^c\} + 3\bar{A}_f (\mu_{tf}\bar{y}_f \bar{E}_{sf}^c + \mu_{tf}\bar{y}_{f+1} \bar{E}_{sf}^c)$$

ここで、 $\bar{A}_w = w h_i / A$ ,  $\bar{A}_c = b h_i / A$ ,  $\bar{A}_f = 2 t d / A$ ,  $A = w h_i + b h_i + 2 t d$ ,  $\bar{h} = h / N_1 = h / N_2$ .

$$NC1 = N1 + 4, NC2 = NC1 + N2.$$

添字 $j, f$ は上下flangeの図心点を、添字 $S, C$ は鋼材、コンクリート部を示す。

次に、 $M_0, N_0$ として桁上縁の圧縮応力 $\sigma_u$ が弹性限界時の応力0.75 $\sigma_u$ となる場合の曲げモーメント $M_y$ 、曲率 $\phi_y$ を弹性計算により求めよう。

Step	Range	$M_0$	$E_c$
1	$\bar{E}_b < \bar{E}_c < \bar{E}_y$	0.5	$\bar{E}_{ay} = \bar{E}_{ay}/0.5$
2	$\bar{E}_b < \bar{E}_c < \bar{E}_b$	1.5	$\bar{E}_b = \bar{E}_b/1.5$
3	$\bar{E}_{ay} < \bar{E}_c < 0$	0	$0.3\bar{E}_o$
4	$\bar{E}_{ay} < \bar{E}_c < 1.5$	$\bar{E}_a = \bar{E}_a/1.5$	0
5	$\bar{E}_c > 0.2\bar{E}_o$	0	0

$\bar{E}_{by} = (0.3\bar{E}_o - \bar{E}_b)/1.5 + \bar{E}_b$   
 $\bar{E}_{ay} = \bar{E}_a - 0.7\bar{E}_o$   
 $\bar{E}_{ay} = 1.5(\bar{E}_{ay} - \bar{E}_o), \bar{E}_{by} = 0.3\bar{E}_o$

表-2

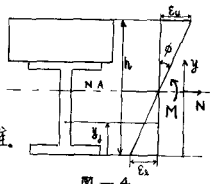


図-4

$\bar{E}_a, \bar{E}_b, \bar{E}_{ay}, \bar{E}_{by}$ の初期値	
IF ( $\bar{E}_c \leq \bar{E}_b$ )	
IF ( $\bar{E}_{ay} < \bar{E}_c < \bar{E}_y$ and $w=1$ )	
IF ( $\bar{E}_s \leq \bar{E}_a$ )	
IF ( $\bar{E}_a < \bar{E}_{ay}$ and $w=-1$ )	
Step 1; $\bar{E}_c = \bar{E}_c$	
Step 2; $\bar{E}_b = \bar{E}_b$	
Step 3; $w=w$	
Step 4; $\bar{E}_a = \bar{E}_s$	
Step 5; $\bar{E}_{ay} = \bar{E}_a + 2\bar{E}_{by}$	
Step 6; $\bar{E}_{by} = \bar{E}_b + \bar{E}_{ay}$	
Step 7; $w=w$	

図-5

$\bar{E}_a, \bar{E}_b, \bar{E}_{ay}, \bar{E}_{by}$ の初期値	
IF ( $\bar{E}_c \leq \bar{E}_b$ )	
IF ( $\bar{E}_c < \bar{E}_b$ and $w=1$ )	
IF ( $\bar{E}_c \geq \bar{E}_a$ and $w=-1$ )	
IF ( $\bar{E}_{ay} < \bar{E}_c < \bar{E}_a$ and $w=1$ )	
Step 1; $\bar{E}_c = \bar{E}_c$	
Step 2; $\bar{E}_b = \bar{E}_b$	
Step 3; $w=-1, \bar{E}_a = \bar{E}_c$	
Step 4; $\bar{E}_{ay} = \bar{E}_b - \bar{E}_c$	
Step 5; $w=w$	
Step 6; $\bar{E}_b = \bar{E}_b + 0.7\bar{E}_{ay}$	
Step 7; $w=w$	
Step 8; $w=-1, \bar{E}_a = \bar{E}_c$	
Step 9; $\bar{E}_{ay} = \bar{E}_b - \bar{E}_c$	
Step 10; $w=w$	
Step 11; $w=1, \bar{E}_a = 0$	
Step 12; $\bar{E}_b = \bar{E}_b - 0.5\bar{E}_a$	

図-6

純曲げモーメントが働いている場合は、釣合の条件として次式が成立する。

式(12)を無次元化すれば、

ここで、 $\bar{\theta}_S$ および $\bar{\theta}_C$ はそれぞれ、次式で示される。

$$\left. \begin{aligned} \bar{\Omega}_S &= n_1 \{ (1 - \bar{y}) \bar{\Omega}_L + \bar{y} \bar{\Omega}_U \} \\ \bar{\Omega}_C &= (1 - \bar{y}) \bar{\Omega}_L + \bar{y} \bar{\Omega}_U \end{aligned} \right\} \quad (14)$$

ただし、 $\bar{\sigma}_e$ 、 $\bar{\sigma}_u$ ：下縁、上縁の応力；  $\bar{\sigma}_s = \sigma_s/\sigma_0$ 、 $\bar{\sigma}_c = \sigma_c/\sigma_0$ 、 $n_t = E_s/E_c$ 。

よって式(13)の積分は次式により求められる。

$$\bar{N} = \int_{A_w} \bar{\sigma} dA / A = \int_{A_w} [n_x((1-\bar{y})\bar{\sigma}_x + \bar{y}\bar{\sigma}_u)] dA + \int_{A_c} [(1-\bar{y})\bar{\sigma}_x + \bar{y}\bar{\sigma}_u] dA + t \cdot d n_x [(1-\bar{y}_f)\bar{\sigma}_x + \bar{y}_f\bar{\sigma}_u + (1-\bar{y}_{f'})\bar{\sigma}_x + \bar{y}_{f'}\bar{\sigma}_u] / A \quad \dots \quad (15)$$

ただし、 $A_w$ ：鋼材の web の断面積。

式(15)の右辺を零とおいて、次の関係式をうる。

$$\beta = \frac{n_i \bar{A}_5 \{2(\bar{t}_2 - \bar{t}) - (\bar{t}_2^2 - \bar{t}^2)\} / \bar{h}_i + \bar{A}_6 \{2(1 - \bar{t}_3) - (1 - \bar{t}_3^2)\} / \bar{h}_2 + n_i \bar{A}_7 \{(1 - \bar{y}_j) + (1 - \bar{y}_j')\}}{n_i \bar{A}_5 (\bar{t}_2^2 - \bar{t}^2) / \bar{h}_i + \bar{A}_6 (1 - \bar{t}_3^2) / \bar{h}_2 + n_i \bar{A}_7 (\bar{y}_j + \bar{y}_j')}$$

$$\text{たゞ} \quad \bar{t}_2 = t_2/h, \quad \bar{t}_3 = t_3/h, \quad \bar{t} = t/h, \quad \bar{y}_f = y_f/h, \quad \bar{y}_f' = y_f'/h, \quad \bar{h}_1 = h_1/h, \quad \bar{h}_2 = h_2/h, \quad t_2 = t + th, \quad t_3 = 2t + th.$$

したがるに、桁上縁の圧縮応力はコンクリートの弾性限界応力  $0.75 f_c$  であるゆえ、式(16)より次の関係式が成立する。

$$\left. \begin{array}{l} \bar{\Omega}_u = -0.75 \\ \bar{\Omega}_x = 0.75/\beta \end{array} \right\} \quad (17)$$

さて、弹性限界モーメント  $M_{\text{y}}$  が作用しているときの内力と外力の釣合いは式(8)において  $N = 0$  をおけば、

式(18)を変形し、式(17)を適用すれば、結局、次式がえられる。

$$\begin{aligned} \text{For } l=1, \quad \beta_1 = & \beta \left\{ 2 \bar{A}_3 \eta_4 (\bar{t}_2^3 - \bar{t}^3) / \bar{h}_1 + 2 \bar{A}_6 (1 - \bar{t}_3^3) / \bar{h}_2 + 3 \bar{A}_3 \eta_4 (\bar{y}_3^2 + \bar{y}_3'^2) \right\} \\ & - \left[ \bar{A}_3 \eta_3 \{3(\bar{t}_2^3 - \bar{t}^3) - 2(\bar{t}_2^3 - \bar{t}^3)\} / \bar{h}_1 + \bar{A}_6 \{3(1 - \bar{t}_3^3) - 2(1 - \bar{t}_3^3)\} / \bar{h}_2 + 3 \bar{A}_3 \eta_4 \{ \bar{y}_3 (1 - \bar{y}_3) + \bar{y}_3' (1 - \bar{y}_3') \} \right] \end{aligned}$$

一方、このときの  $\phi$  は図-4 のひずみ分布より  $\phi = \varepsilon_0(\bar{\varepsilon}_E - \bar{\varepsilon}_0)/h$  なる一般式で与えられるゆえ、弾性限界時の曲率  $\kappa$  は、 $\bar{\varepsilon}_E = \bar{\varepsilon}_0/1.5$  ,  $\bar{\varepsilon}_0 = \bar{\varepsilon}_0/1.5$  と式(17)の結果とを用いれば、次値となる。

$$\phi_r = 0.5 \mathcal{E}_0 (1 + \beta) / (\beta h) = \phi_0 \quad \text{--- --- --- --- --- ---} \quad (20)$$

よって、上述の結果を用いれば、無次元化した曲率  $\psi = \theta/\alpha$  が次のように求められる。

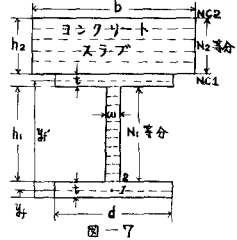
$$\varphi = \Phi/\Phi_0 = 2\beta(\bar{E}_L - \bar{E}_U)/(1 + \beta) \quad \dots \quad (21)$$

また、式(11)は式(19)より、次のように変形される。

$$-(0.75 B_1 \sqrt{\beta}) \bar{M} + 6 \bar{h}_c \bar{N} = B_1 \bar{E}_g + B_2 \bar{E}_y - B_3 \dots \dots \dots \quad (22)$$

式(10)と式(22)を $\bar{E}_k$ ,  $\bar{E}_l$ について連立に解けば、次式を得る。

$$\bar{E}_0 = \left\{ -A_2 B_3 + A_3 B_2 + (2B_2 - 6A_2 \bar{h}_c) \bar{N} + (0.75 A_2 B_1 / \beta) \bar{M} \right\} / (A_1 B_2 - A_2 B_1) \quad \dots \quad (23-a)$$



$$\bar{E}_u = \left\{ a_1 B_3 - a_3 B_1 + (6a_1 h_c - 2B_1) \bar{N} - (0.75 a_1 \beta_i / \beta) \bar{M} \right\} / (a_1 B_2 - a_2 B_1) \quad \dots \quad (23-b)$$

#### 4. 計算例

上記諸式を用いて中央集中荷重  $P$  を受ける図-9のT型合成杭の単純化について解析すれば、以下の結果をうる。

ただし、スパン中央点のたわみは補正エネルギー  $C = \iint \phi dm ds$  に変分原理を適用することにより、次のように求められる。

上式に  $M = -\frac{P}{2}x$  を代入のうえ、無次元化すれば (図-9参照)

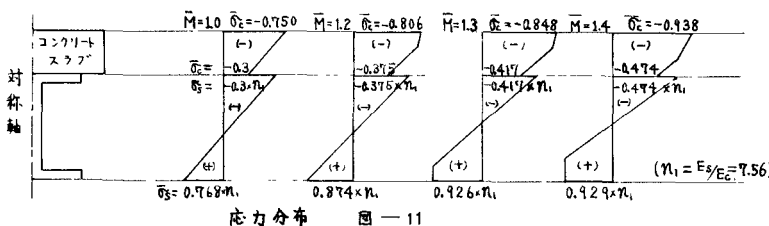
$$\bar{\delta} = \delta/\ell = \frac{g_r \ell}{4} \int_0^1 g \bar{x} d\bar{x} \quad - - - - - \quad (25)$$

$$T \in \mathbb{R}^+, \quad \bar{x} = x/(l/2)$$

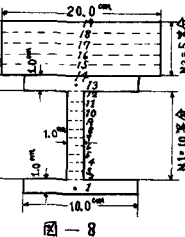
よって、式(20), (21), (23-a), (23-b), 式(25)を併用すれば、各荷重に対するたわみ  $\bar{\delta}$  を算定でき、そのフロー・チャートは図-10のようになる。以上の結果の一部を示せば図-11, 12, 13のようになる。

なお、本計算例で用いる諸値は次のとおりである。

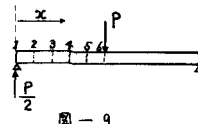
$$\bar{\sigma}_{ys} = 7.0, \quad \varepsilon_0 = 1.62 \times 10^{-3}, \quad \bar{\sigma}_c = 300 \text{ kg/cm}^2, \quad E_s = 2.1 \times 10^6 \text{ kg/cm}^2, \quad n_i = 7.56$$



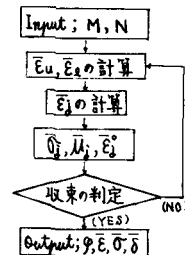
应力分布 図-11



— 8 —



— 6 —



□ - 10

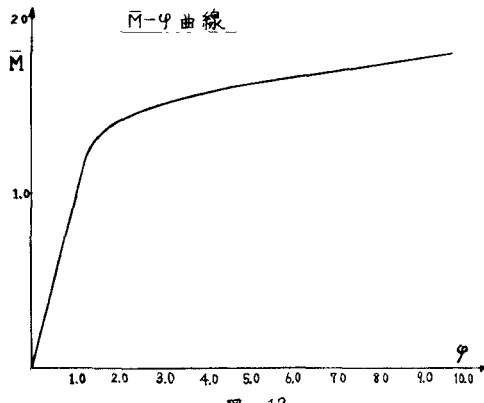
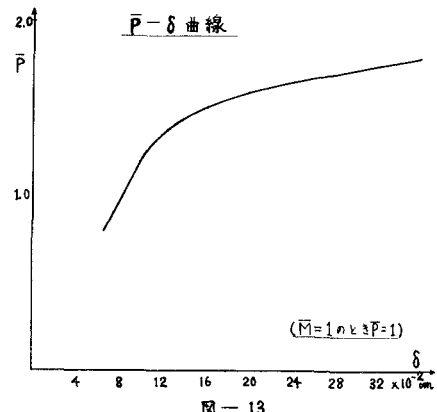


图-12



圖一-13

5 結び

本研究の結果、曲げモーメントと軸力の組合せ負荷を受け完全相互作用をなす合成桁の弾塑性解析が可能となったが、Shear studのせん断力とせん断すべりの関係式を導入することにより、鋼材とコンクリートの間のすべりを考慮した場合も、同様な手法で解明することができる。

(参考文献) 山崎, 太田. "有限変形理論によるR-Cおよび合成桁の弾塑性解析", 第16回橋梁・構造工学研究発表会(1969.12.5), P91